

ФИЗИКО-ХИМИЧЕСКИЙ АНАЛИЗ
НЕОРГАНИЧЕСКИХ СИСТЕМ

УДК 544.344.015.3

ПРОСТРАНСТВЕННАЯ КОМПЬЮТЕРНАЯ МОДЕЛЬ ИЗОБАРНОЙ
ФАЗОВОЙ ДИАГРАММЫ $\text{UCl}_3\text{--NaCl--MgCl}_2\text{--PuCl}_3$

© 2023 г. В. П. Воробьева^a, *, А. Э. Зеленая^a, В. И. Луцый^a, М. В. Ламуева^a

^aИнститут физического материаловедения СО РАН, ул. Сахьяновой, 6, Улан-Удэ, 670047 Россия

*e-mail: vvorobjeva@mail.ru

Поступила в редакцию 05.05.2023 г.

После доработки 20.06.2023 г.

Принята к публикации 27.06.2023 г.

Построена четырехмерная (4D, в координатах состав–температура) компьютерная модель изобарной фазовой диаграммы из хлоридов урана, натрия, магния и плутония, а также четыре трехмерные (3D) компьютерные модели фазовых диаграмм формирующих ее тройных систем. Для построения использована технология сборки 4D-модели из 46 гиперповерхностей и 17 фазовых областей. Полученная 4D-модель фазовой диаграммы $\text{UCl}_3\text{--NaCl--MgCl}_2\text{--PuCl}_3$ позволяет визуализировать четырехмерный объект целиком (со всеми его гиперповерхностями и фазовыми областями) через любые произвольно заданные 2D- и 3D-разрезы, а также воспроизводить опубликованные (экспериментальные или термодинамически рассчитанные) 2D-сечения. Результаты работы могут быть использованы при разработке материалов для компонентов топлива расплавно-солевых реакторов IV поколения и пирохимической переработки отработавших твэлов. Впервые получено комплексное полное описание фазовых диаграмм, составленных из хлоридов урана и плутония, натрия и магния.

Ключевые слова: расплавно-солевой реактор, фазовая диаграмма, компьютерное моделирование, визуализация объектов четырехмерного пространства, хлорид урана, хлорид натрия, хлорид магния, хлорид плутония

DOI: 10.31857/S0044457X23600780, **EDN:** YZXQVU

ВВЕДЕНИЕ

В качестве топливных композиций для реактора на расплавленных солях могут применяться как фториды [1, 2], так и хлориды металлов [3–12]. Для оптимизации выбора топлива и прогноза его свойств экспериментальная работа может дополняться расчетными данными, полученными на основе компьютерных моделей фазовых диаграмм фторидных и хлоридных систем, характеризующихся как потенциальное топливо.

Известны работы (European Commission, Joint Research Centre, Institute of Transuranium Elements, Karlsruhe, Германия) [13–17], связанные с исследованиями смесей $\text{LiF--BeF}_2\text{--ThF}_4\text{--UF}_4$ как типичного состава топлива для расплавно-солевого реактора и LiF--NaF--RbF как растворителя для трифторидов актинидов при использовании в качестве ядерного топлива; с термодинамическими расчетами фторидных систем $\text{MF--LaF}_3\text{--ThF}_4\text{--UF}_4$ ($\text{M} = \text{Li}, \text{Na}, \text{K}, \text{Rb}, \text{Cs}$); с моделированием и расчетом фазовой диаграммы системы $\text{LiF--NaF--RbF--LaF}_3$; с определением вязкости, теплоемкости и теплопроводности матрицы LiF--NaF--RbF для плутониевого топлива, а также с возможностью замены трифторида плу-

тония трифторидом лантана, который по совокупности свойств может рассматриваться в качестве аналога [18].

Расплавленные хлоридные эвтектики используются в качестве жидкой электролитической среды при пирохимической переработке отработанного металлического топлива [19, 20]. В этом процессе отработанное металлическое топливо растворяют в расплавленной соли, а топливные материалы избирательно отделяют от продуктов деления путем электрорафинирования.

Поскольку празеодим является одним из основных продуктов деления, было необходимо понять взаимодействие PrCl_3 в среде LiCl--KCl и, следовательно, изучить фазовые равновесия в псевдотройной системе $\text{LiCl--PrCl}_3\text{--KCl}$ [21, 22].

Систему $\text{LiCl--KCl--UCl}_3\text{--PuCl}_3$ изучали при 773.15 K [23]. Мольное соотношение $\text{LiCl} : \text{KCl}$ фиксировали на уровне 58 : 42, соответствующем составу эвтектики этой двойной системы. Поскольку соотношение $\text{LiCl} : \text{KCl}$ было постоянным, четырехкомпонентная солевая система фактически превратилась в квазитройную.

В этих работах приводится множество вариантов потенциального топлива, как рассчитанных с

помощью термодинамических пакетов программ, так и изученных экспериментально [14–21, 23]. Однако представленная информация о строении фазовых диаграмм фторидных и хлоридных (а также взаимных фторид–хлоридных) систем ограничивается только визуализацией поверхностей ликвидуса и некоторого количества разрезов, тогда как для получения информации о результатах взаимодействия в системах необходима полная модель диаграммы, включающая не только фазовые области с участием расплава, но и взаимодействие в субсолидусе.

Разработаны технологии компьютерного конструирования фазовых диаграмм, позволяющие обобщать информацию о фазовых равновесиях в ограничивающих системах и по мере сборки из (гипер)поверхностей и/или фазовых областей создавать пространственные компьютерные модели фазовой диаграммы (3D – трехмерные для тройных систем в координатах T – x – y , 4D – четырехмерные для четверных систем в координатах T – x – y – z) и получать полное изображение фазовой диаграммы, включая все ее геометрические элементы [24]. Такого рода модели позволяют строить изо- и политеrmические сечения, изображать пути кристаллизации и анализировать количественно и качественно формирование микроструктур. Компьютерные 3D- и 4D-модели не связаны со специальными базами данных, и в случае недостатка исходной информации они способны использовать гипотетические данные либо для построения прототипа фазовой диаграммы, либо для моделирования только фрагмента фазовой диаграммы. Позднее при получении недостающих данных прототип дополняется и корректируется в соответствии с новой информацией.

Для построения компьютерных 3D- и 4D-моделей изобарных фазовых диаграмм и их двумерных (2D) и трехмерных (3D) сечений использовали авторскую программу Phase Diagram Designer (PD Designer) [24].

Цель настоящей работы – построение компьютерных 3D-моделей четырех тройных систем, формирующих фазовую диаграмму четырехкомпонентной системы $\text{UCl}_3\text{--NaCl--MgCl}_2\text{--PuCl}_3$, а затем 4D-модели ее фазовой диаграммы.

КОМПЬЮТЕРНЫЕ 3D-МОДЕЛИ ИЗОБАРНЫХ ФАЗОВЫХ ДИАГРАММ ТРОЙНЫХ СИСТЕМ, ФОРМИРУЮЩИХ ЧЕТВЕРНУЮ СИСТЕМУ $\text{UCl}_3\text{--NaCl--MgCl}_2\text{--PuCl}_3$ (A–B–C–D)

Для построения 4D-модели T – x – y – z -диаграммы системы $\text{UCl}_3\text{--NaCl--MgCl}_2\text{--PuCl}_3$ сначала строятся 3D-модели T – x – y -диаграмм тройных систем [24], затем проводится исследование и прогноз возможного геометрического строения

четверной системы, строится ее прототип, который после ввода реальных координат (состав–температура) базовых точек и коррекции кривизны моновариантных линий и изотермических линий на поверхностях превращается в модель фазовой диаграммы реальной системы.

При построении 3D- и 4D-моделей с помощью программы PD Designer исходные компоненты и образующиеся в системе соединения переобозначаются: в нашем случае хлориды урана, натрия, магния, плутония – в A, B, C, D соответственно, а соединения NaMgCl_3 и Na_2MgCl_4 – в R1 и R2.

3D-модели фазовых диаграмм $\text{UCl}_3\text{--NaCl--PuCl}_3$ (A–B–D) и $\text{UCl}_3\text{--MgCl}_2\text{--PuCl}_3$ (A–C–D)

Фазовые диаграммы систем $\text{UCl}_3\text{--NaCl--PuCl}_3$ (A–B–D) и $\text{UCl}_3\text{--MgCl}_2\text{--PuCl}_3$ (A–C–D) имеют одинаковое геометрическое строение. Они характеризуются отсутствием четырехфазных моновариантных превращений и наличием точки минимума на моновариантной линии ликвидуса (рис. 1). Их формируют по две бинарные системы эвтектического типа: $\text{UCl}_3\text{--NaCl}$ (A–B), NaCl--PuCl_3 (B–D) и $\text{UCl}_3\text{--MgCl}_2$ (A–C), $\text{MgCl}_2\text{--PuCl}_3$ (C–D) соответственно. Еще одна система – $\text{UCl}_3\text{--PuCl}_3$ (A–D) с непрерывными рядами твердых растворов и точкой минимума m_{AD} (рис. 1).

Для проверки корректности модели проведено сопоставление разреза $T = 873$ К, построенного при помощи 3D-модели (рис. 2а), с разрезом, рассчитанным с использованием программного пакета для термодинамических расчетов (рис. 2б) [7], а также построены произвольно заданные изотермический разрез при $T = 750$ К (рис. 2в) и политеrmический разрез $z_{1(\text{PuCl}_3)} = 0.3$ при постоянном содержании PuCl_3 (рис. 2г).

Подобие геометрического строения позволяет пользоваться одним прототипом. Сначала строится гипотетическая фазовая диаграмма, формально воспроизводящая геометрическое строение, которое задают две двойные эвтектические системы и одна система с непрерывными рядами твердых растворов. Она состоит из двух поверхностей ликвидуса, двух – солидуса, двух – сольвуса и трех линейчатых поверхностей, которые являются границами следующих фазовых областей: однофазных A (D) и B, трех двухфазных L + A (D), L + B, A (D) + B и одной трехфазной L + A (D) + B.

В построенный прототип вводятся координаты реальных систем и корректируется кривизна поверхностей. При построении 3D-моделей фазовых диаграмм $\text{UCl}_3\text{--NaCl--PuCl}_3$ (A–B–D) и $\text{UCl}_3\text{--MgCl}_2\text{--PuCl}_3$ (A–C–D) в качестве начальных данных использовали температуры исходных компонентов и термодинамически рассчитанные координаты бинарных точек эвтектики (e_{AB} , e_{BD} ,

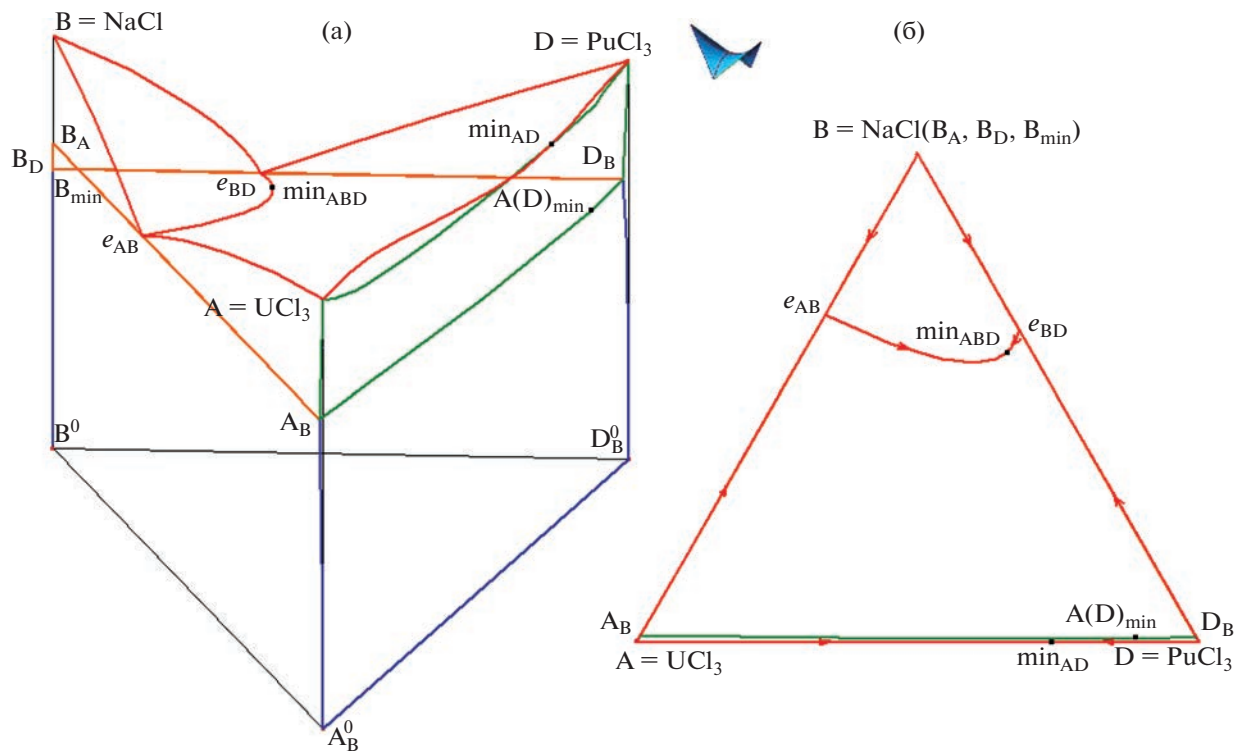


Рис. 1. Компьютерная 3D-модель изобарной фазовой диаграммы $\text{UCl}_3\text{--NaCl--PuCl}_3$ (A--B--D): проекции $T\text{-}x\text{-}y$ (а) и $x\text{-}y$ (б).

e_{AC} , e_{CD}), а также точек минимума (\min_{ABD} , \min_{ACD}) на связывающих их моновариантных линиях и общей точки \min_{AD} на линиях ликвидуса и солидуса в системе $\text{UCl}_3\text{--PuCl}_3$ (A--D) [7, 8] (рис. 1а).

Поверхности солидуса и сольвуса на границе фазовой области NaCl (B) или MgCl_2 (C) в обеих фазовых диаграммах вырождены в соответствующие вертикальные оси, а значения координат бинарных точек (например, для системы $\text{UCl}_3\text{--NaCl--PuCl}_3$ (A--B--D) — A_B , D_B , A_B^0 , D_B^0 на рис. 1) и тройной точки минимума $A(D)_{\min}$ на поверхности солидуса (на линии $A_B D_B$ на рис. 1а или на линии $A_C D_C$ в системе с хлоридом магния), сопряженной с точкой \min_{ABD} или \min_{ACD} соответственно, взяты приближенно.

3D-модели фазовых диаграмм $\text{UCl}_3\text{--NaCl--MgCl}_2$ (A--B--C) и $\text{NaCl--MgCl}_2\text{--PuCl}_3$ (B--C--D)

В двойной системе NaCl--MgCl_2 (B--C) образуются два инконгруэнтно плавящихся соединения: NaMgCl_3 (R1) и Na_2MgCl_4 (R2). Система $\text{UCl}_3\text{--NaCl--MgCl}_2$ (A--B--C) характеризуется одним квазиперитектическим Q_1^1 : $\text{L} + \text{MgCl}_2 \rightarrow \text{UCl}_3 + \text{R2}$ ($\text{L} + \text{C} \rightarrow \text{A} + \text{R2}$) и двумя эвтектическими E_1 : $\text{L} \rightarrow \text{UCl}_3 + \text{R1} + \text{R2}$ ($\text{L} \rightarrow \text{A} + \text{R1} + \text{R2}$) и E_2 : $\text{L} \rightarrow \text{UCl}_3 + \text{NaCl} + \text{R1}$ ($\text{L} \rightarrow \text{A} + \text{B} + \text{R1}$) нонвариант-

ными превращениями (рис. 3б). На моновариантной линии ликвидуса $E_1 E_2$ отмечена точка максимума e_{\max} .

При построении 3D-моделей используется так называемая схема моно- и нонвариантных состояний. Это обычная схема фазовых реакций Шейлла [26], дополненная перечислением траекторий изменения составов участников трехфазных превращений. Столь небольшое дополнение превращает схему фазовых реакций в удобное средство компактного, но информативного описания геометрического строения фазовой диаграммы [27]. В данном случае с помощью схемы моно- и нонвариантных состояний (табл. 1) установлено, что прототип $T\text{-}x\text{-}y$ -диаграммы состоит из пяти поверхностей ликвидуса и пяти — солидуса, 14 поверхностей сольвуса, 30 линейчатых поверхностей и 12 симплексов на трех горизонтальных плоскостях при температурах нонвариантных реакций Q_1 , E_1 , E_2 . Они являются границами пяти двухфазных $\text{L} + \text{I}$ и пяти однофазных I областей ($\text{I} = \text{A}, \text{B}, \text{C}, \text{R1}, \text{R2}$), семи двухфазных ($\text{A} + \text{B}, \text{A} + \text{C}, \text{A} + \text{R1}, \text{A} + \text{R2}, \text{B} + \text{R1}, \text{C} + \text{R2}, \text{R1} + \text{R2}$) и трех трехфазных ($\text{A} + \text{C} + \text{R2}, \text{A} + \text{R1} + \text{R2}, \text{A} + \text{B} + \text{R1}$)

¹ Здесь и далее нонвариантная реакция, в которой участвуют два реагента (один из них расплав) и на выходе образуются два продукта реакции, называемая в классической литературе [25] квазиперитектической, обозначается буквой Q [22].

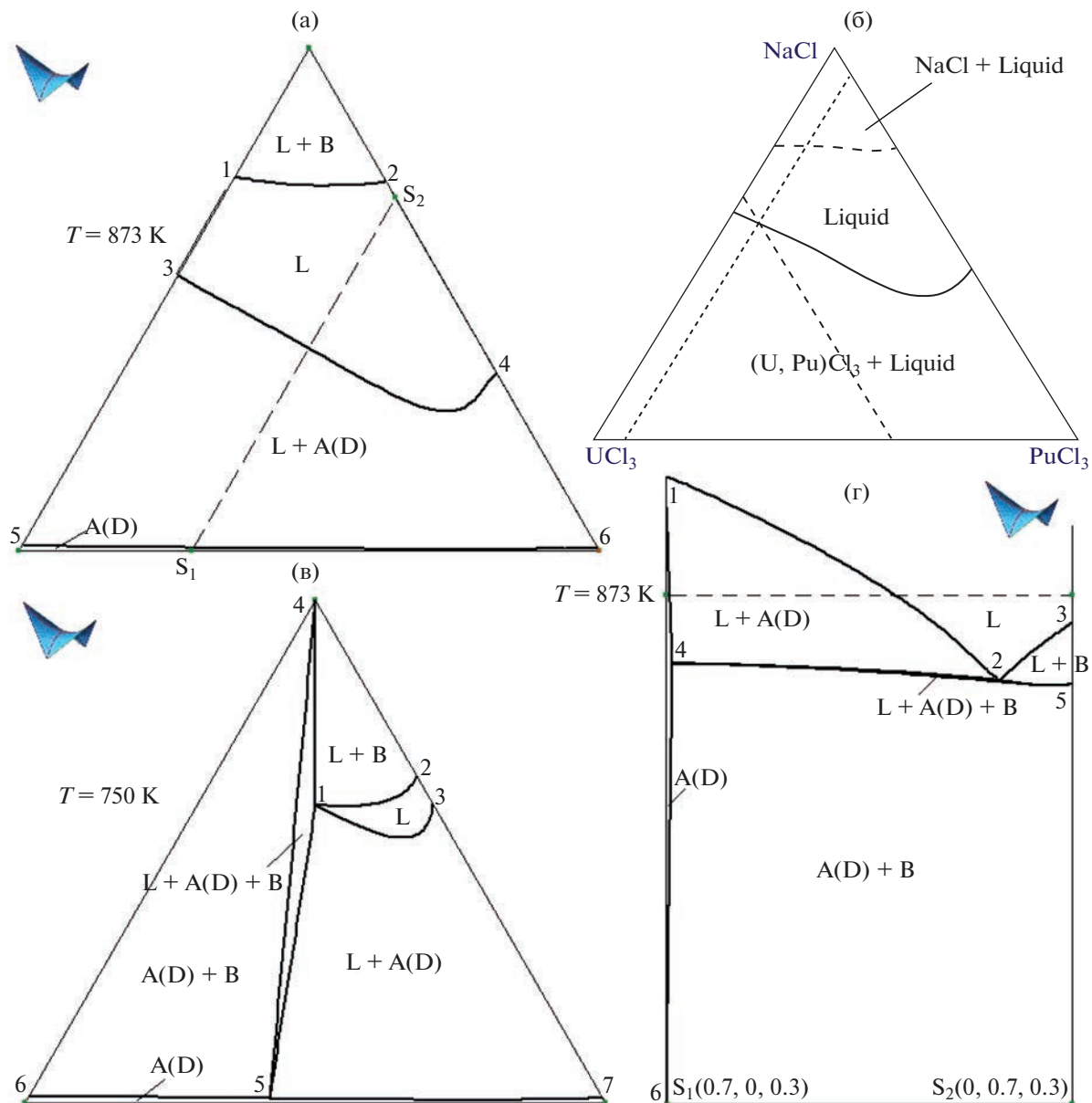


Рис. 2. Изотермические разрезы системы $\text{UCl}_3\text{--NaCl--PuCl}_3$ (A--B--D): $T = 873 \text{ K}$ (а) — воспроизводит термодинамически рассчитанный разрез [7] (б); $T = 750 \text{ K}$ (в); политеческий разрез $z_1(\text{PuCl}_3) = 0.3$ (г).

областей в субсолидусе, а также семи трехфазных областей с расплавом $L + I + J$ ($L + A + B$, $L + A + C$, $L + A + R1$, $L + A + R2$, $L + B + R1$, $L + C + R2$, $L + R1 + R2$).

В качестве начальных данных при построении 3D-модели фазовой диаграммы $\text{UCl}_3\text{--NaCl--MgCl}_2$ (A--B--C) использовали термодинамически рассчитанные координаты бинарных и тройных точек [4, 7]. Отсутствие твердых растворов на основе компонентов и соединений привело к вырождению поверхностей солидуса (четырех, за исключением солидуса UCl_3) и сольвуса (десяти, за исключением четырех поверхностей на границе области го-

могенности UCl_3), а также восьми линейчатых поверхностей на ограничении фазовых областей: по одной у областей $L + B + R1$, $L + C + R2$ и $L + R1 + R2$, по две у областей $A + C + R2$, $A + R1 + R2$ и $A + B + R1$. Еще три трансформировались в вертикальные плоскости $A - R1$ и $A - R2$ (рис. 3а). В итоге фазовая диаграмма реальной системы содержит область гомогенности UCl_3 (A), семь двухфазных ($L + A$, $L + B$, $L + C$, $L + R1$, $L + R2$, $A + R1$, $A + R2$) и 10 трехфазных ($L + A + B$, $L + A + C$, $L + A + R1$, $L + A + R2$, $L + B + R1$, $L + C + R2$, $L + R1 + R2$, $A + C + R2$, $A + B + R1$, $A + R1 + R2$) областей.

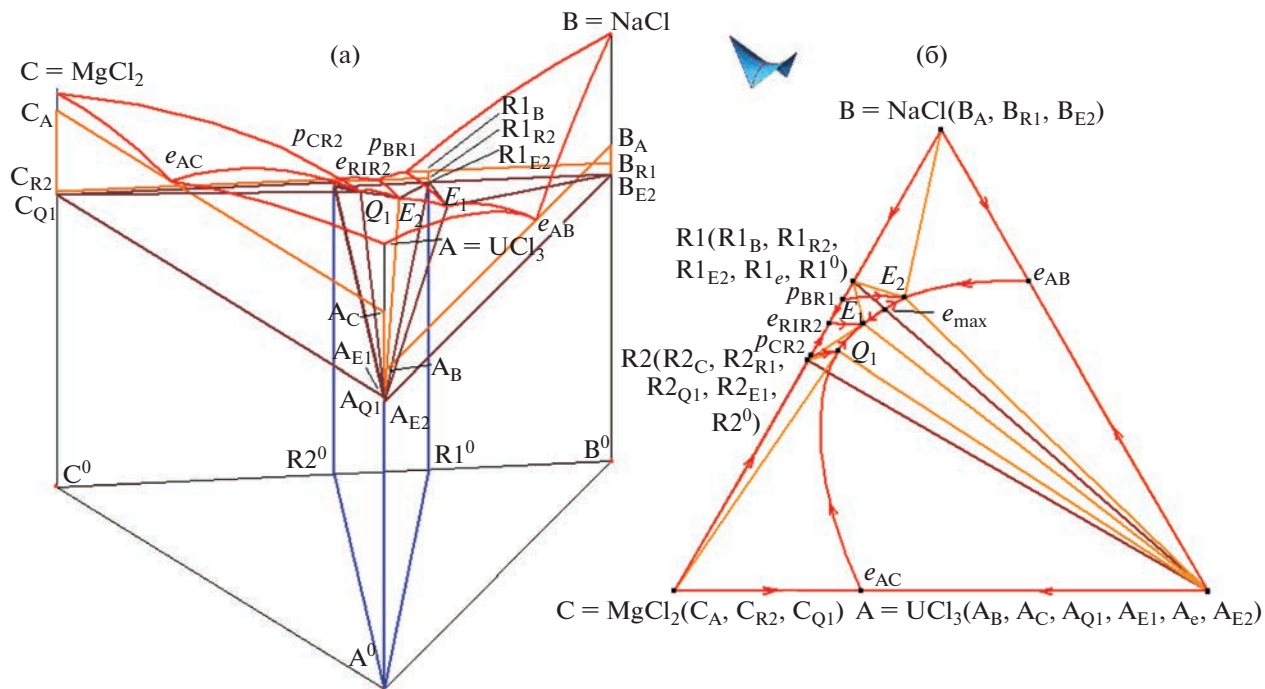


Рис. 3. Компьютерная 3D-модель фазовой диаграммы UCl₃-NaCl-MgCl₂ (A-B-C): проекции T-x-y (а) и x-y (б).

Построенный для системы UCl₃-NaCl-MgCl₂ (A-B-C) прототип можно использовать и для построения 3D-модели фазовой диаграммы системы NaCl-MgCl₂-PuCl₃ (B-C-D). Он тоже состоит из пяти поверхностей ликвидуса и пяти – солидуса, 14 поверхностей сольвуса, 30 линейчатых поверхностей и 12 симплексов на трех горизонтальных плоскостях. В отличие от системы с хлоридом урана, в системе с хлоридом плутония, наоборот, одно эвтектическое E_3 : L → NaCl + + PuCl₃ + R1 (L → B + D + R1) и два квазиперитектических Q_2 : L + MgCl₂ → PuCl₃ + R2 (L + C → D + + R2) и Q_3 : L + R1 → PuCl₃ + R2 (L + R1 → D + + R2) превращения (рис. 4б).

Фазовое превращение на плоскости Q_3 является вырожденным – точка Q_3 в проекции лежит на линии PuCl₃-R2 (D + R2) (рис. 4а). Вырожденные варианты строения нонвариантных плоскостей проанализированы в работе [28].

В итоге фазовая диаграмма реальной системы содержит пять поверхностей ликвидуса, один солидус, четыре сольвуса и 21 линейчатую поверхность. Фазовую диаграмму формируют семь двухфазных (L + B, L + C, L + D, L + R1, L + + R2, D + R1, D + R2) и 10 трехфазных (L + B + D, L + B + R1, L + C + D, L + C + R2, L + + D + R1, L + D + R2, L + R1 + R2, C + D + R2, B + D + R1, D + R1 + R2) областей.

КОМПЬЮТЕРНАЯ 4D-МОДЕЛЬ ИЗОБАРНОЙ ФАЗОВОЙ ДИАГРАММЫ UCl₃-NaCl-MgCl₂-PuCl₃

Схема фазовых реакций для четверной системы составлена по данным об ограничивающих тройных системах (табл. 2). На ее основе построена 4D-модель прототипа (рис. 5) фазовой диаграммы и далее 4D-модель фазовой диаграммы реальной системы UCl₃-NaCl-MgCl₂-PuCl₃ (A-B-C-D) (рис. 6).

Прототип фазовой диаграммы UCl₃-NaCl-MgCl₂-PuCl₃

Согласно схеме фазовых реакций (табл. 2), в системе отсутствуют нонвариантные пятифазные превращения, а есть только три моновариантных превращения, которым на ликвидусе соответствуют линии Q_1Q_2 , E_1Q_3 и E_2E_3 с максимумом в точке E_{\max} , по каждой из которых пересекаются три поверхности.

Таким образом, фазовая диаграмма состоит из семи поверхностей, соответствующих трехфазным превращениям (рис. 5а):

Таблица 1. Схема моно- и нонвариантных состояний системы $\text{UCl}_3\text{-NaCl-MgCl}_2$ (A-B-C), $T_{\text{UCl}_3(\text{A})} > T_{\text{NaCl}(\text{B})} > T_{\text{MgCl}_2(\text{C})} > T_{e\text{AC}} > T_{e\text{AB}} > T_{p\text{BR}_1} > T_{p\text{CR}_2} > T_{e\text{R}_1\text{R}_2} > T_{Q_1} > T_e > T_{E_1} > T_{E_2}$

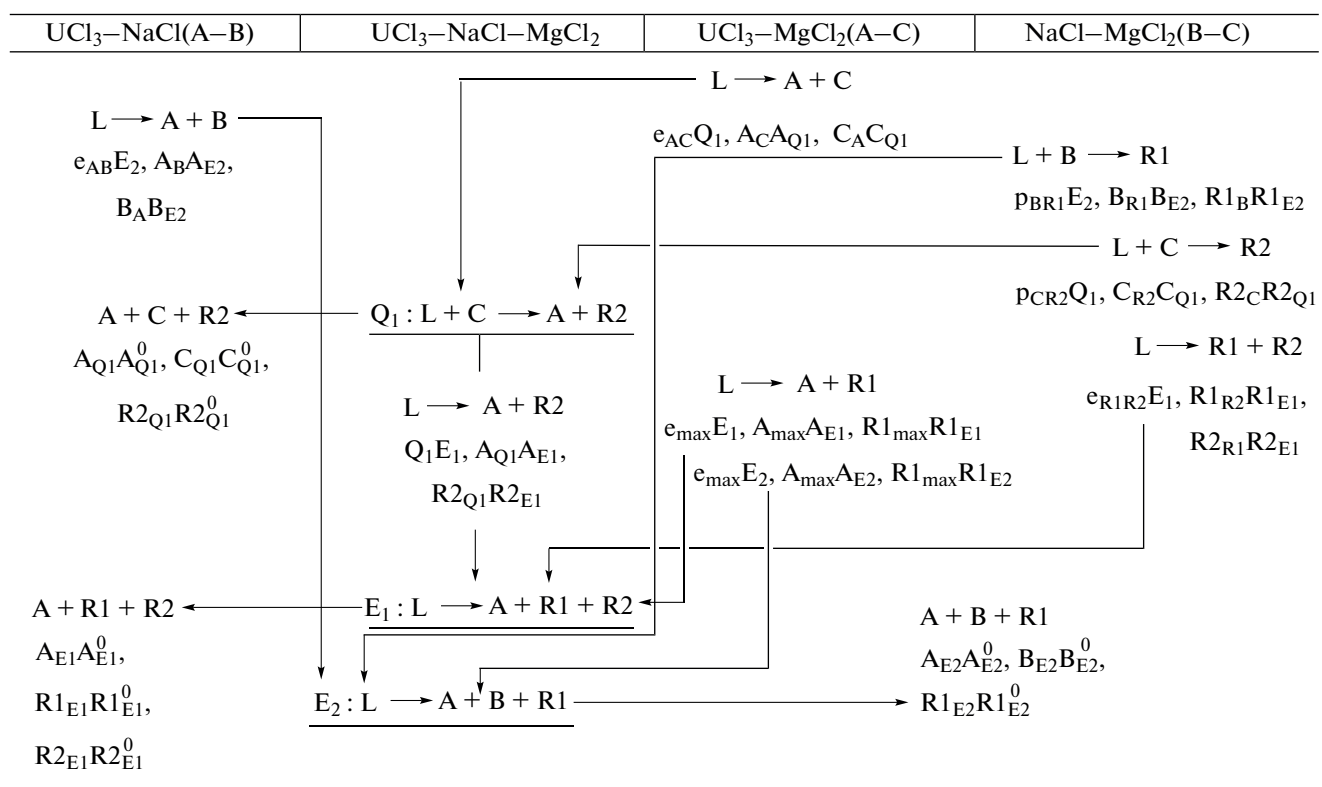
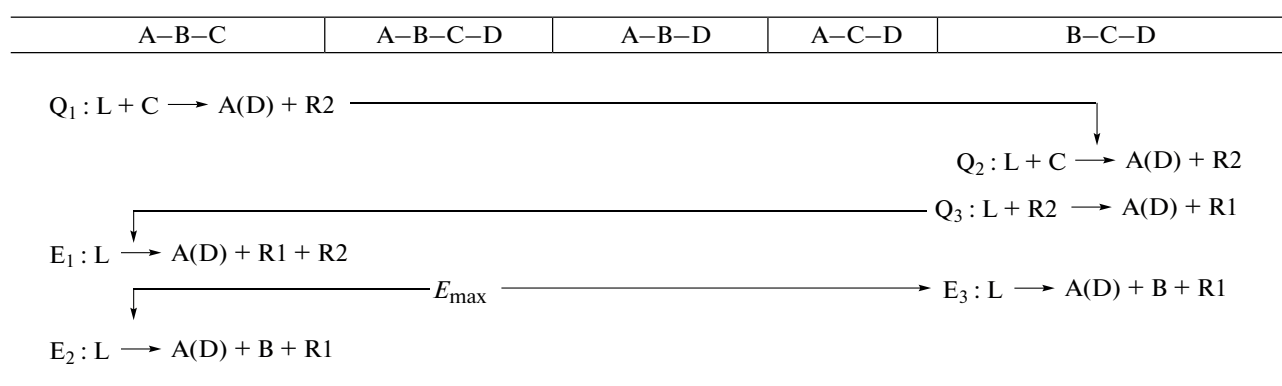


Таблица 2. Схема фазовых реакций в системе $\text{UCl}_3\text{-NaCl-MgCl}_2\text{-PuCl}_3$ (A-B-C-D) с бинарными инконгруэнтно плавящимися соединениями NaMgCl_3 (R1) и Na_2MgCl_4 (R2) (рис. 6)



$$\begin{aligned}
 & e_{AB}E_2E_3e_{BD} : L \rightarrow A(D) + \\
 & + B; e_{AC}Q_1Q_2e_{CD} : L \rightarrow A(D) + C; \\
 & E_1E_2E_3Q_3 : L + A(D) \rightarrow R_1; Q_1Q_2Q_3E_1 : L + \\
 & + A(D) \rightarrow R_2; \\
 & p_{BR_1}E_2E_3 : L + B \rightarrow R_1; \\
 & p_{CR_2}Q_1Q_2 : L + C \rightarrow R_2; \\
 & e_{R1R2}E_1Q_3 : L \rightarrow R_1 + R_2.
 \end{aligned}$$

По этим семи поверхностям пересекаются пять гиперповерхностей ликвидуса компонентов NaCl (B) и MgCl_2 (C), соединений NaMgCl_3 (R1) и Na_2MgCl_4 (R2), а также твердого раствора UCl_3 (PuCl_3) (A (D)), которым соответствуют пять гиперповерхностей солидуса (рис. 5б).

Для каждой из перечисленных семи поверхностей на пересечении двух гиперповерхностей ликвидуса существуют сопряженные поверхности

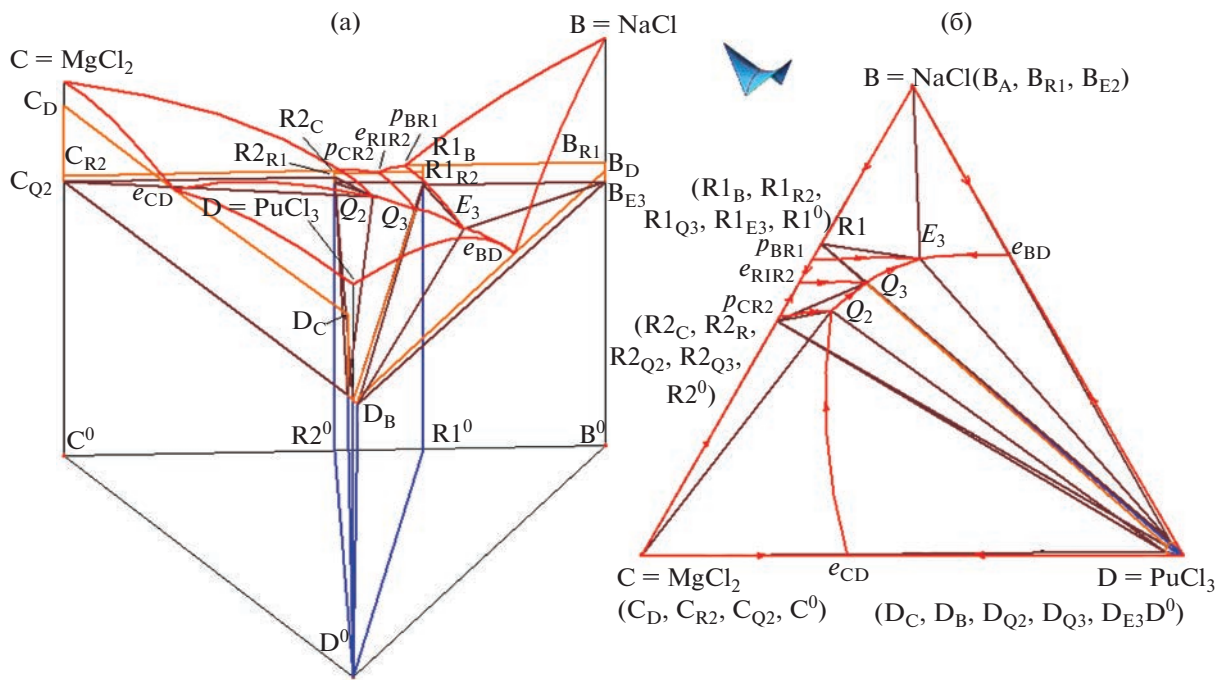


Рис. 4. Компьютерная 3D-модель фазовой диаграммы NaCl-MgCl₂-PuCl₃ (B-C-D): проекции T-x-y (а) и x-y (б).

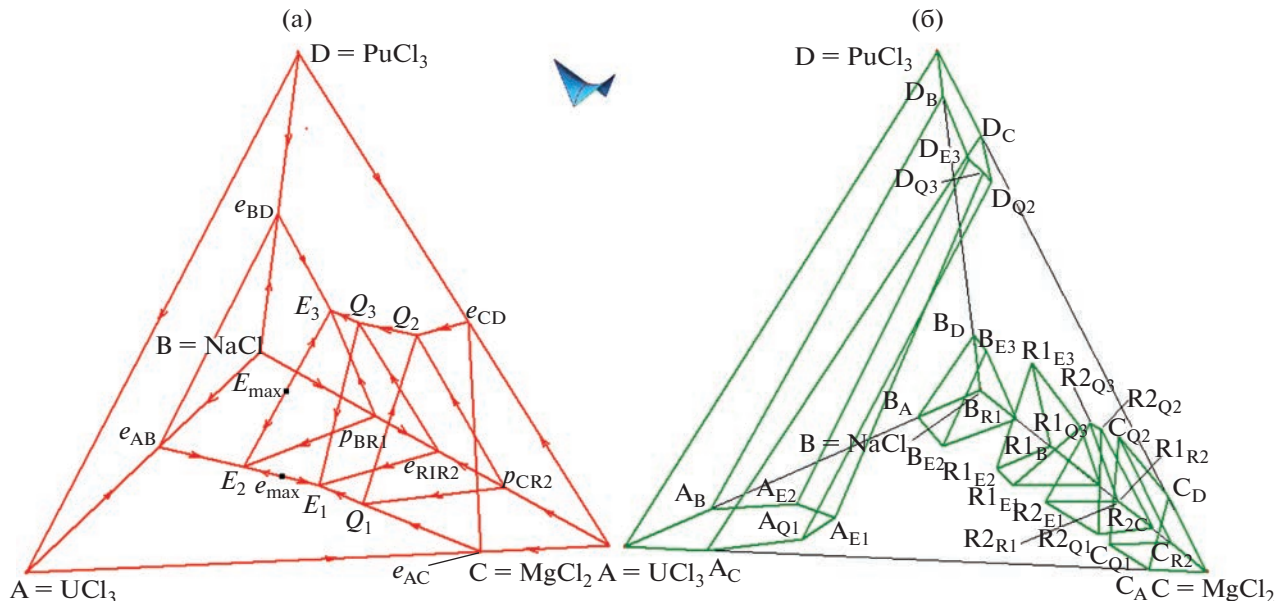


Рис. 5. Прототип гиперповерхностей ликвидуса (а) и солидуса (б) изобарной фазовой диаграммы UCl₃-NaCl-MgCl₂-PuCl₃ (A-B-C-D) с бинарными инконгруэнтно плавящимися соединениями NaMgCl₃ (R1) и Na₂MgCl₄ (R2).

сти на солидусе. Например, поверхности $e_{AB}E_2E_3e_{BD}$, по которой пересекаются гиперповерхности ликвидуса А (D) и В (рис. 5а), соответствуют поверхности, принадлежащие гиперповерхностям солидуса А (D) и В: $A_BA_{E2}D_{E3}D_B$ и $B_A B_{E2}B_{E3}B_D$ (рис. 5б). Эти три поверхности попарно являются

направляющими трех линейчатых гиперповерхностей с образующими отрезками. В результате они образуют триаду гиперповерхностей, которые служат границами трехфазной области L + A (D) + В. Поскольку на фазовой диаграмме трехфазных превращений семь, то и таких триад тоже семь (а ли-

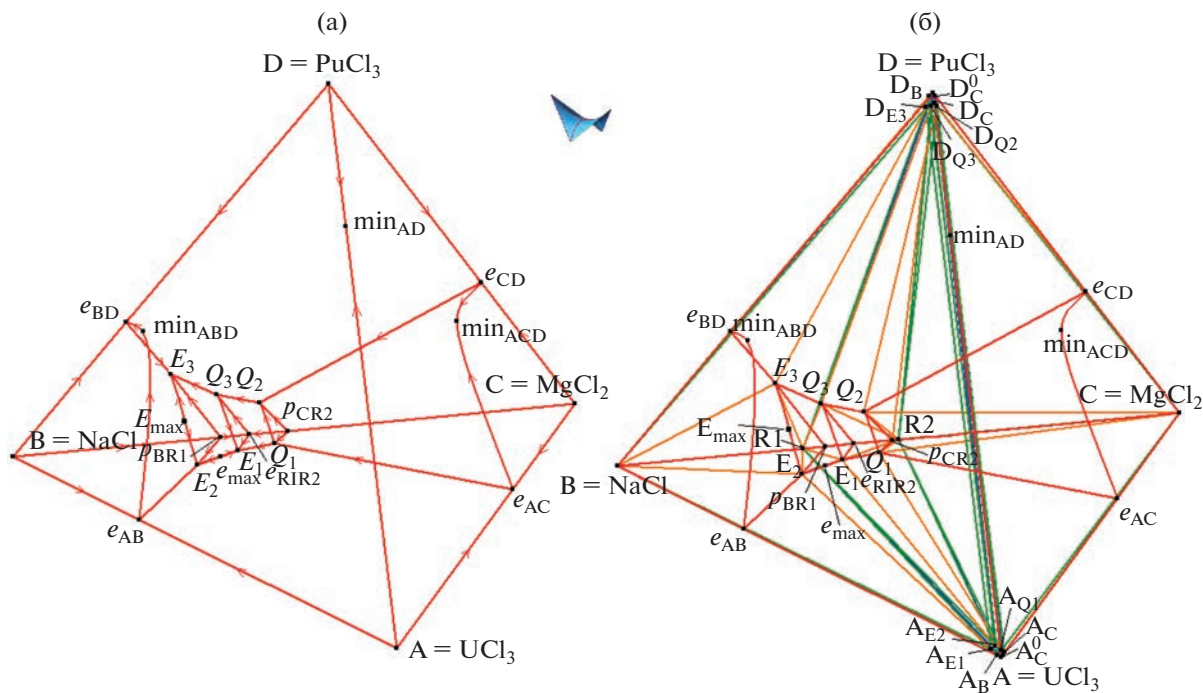


Рис. 6. Фазовая диаграмма $\text{UCl}_3\text{-NaCl}\text{-MgCl}_2\text{-PuCl}_3$ (A–B–C–D) с бинарными инконгруэнтно плавящимися соединениями NaMgCl_3 (R1) и Na_2MgCl_4 (R2): $x\text{-}y\text{-}z$ -проекция гиперповерхностей ликвидуса (а); $x\text{-}y\text{-}z$ -проекция всех гиперповерхностей (б).

нейчатых гиперповерхностей с образующим отрезком, которые по три формируют границы трехфазных областей, – в три раза больше, т.е. 21).

У каждой из трех линий $Q_1 Q_2$, $Q_3 E_1$, $E_2 E_3$, по которым пересекаются по три гиперповерхности ликвидуса, есть три моновариантные (сопряженные с ней) линии $Q_1 Q_2$ на гиперповерхностях солидуса (рис. 5б). Например, линии на пересечении гиперповерхностей ликвидуса A (D), C и R2 (рис. 5а) соответствуют линии $A_{Q1} D_{Q2}$, $C_{Q1} C_{Q2}$ и $R2_{Q1} R2_{Q2}$ (рис. 5б) на гиперповерхностях солидуса.

Каждые три из четырех линий становятся направляющими линейчатых гиперповерхностей с образующей плоскостью. В итоге формируются четыре линейчатые гиперповерхности, в границах которых заключена фазовая область $L + A(D) + C + R2$. Всего на фазовой диаграмме таких тетрад три. Они служат границами четырехфазных областей: $L + A(D) + C + R2$, $L + A(D) + B + R2$, $L + A(D) + R1 + R2$.

Границами семи двухфазных областей $A(D) + B$, $A(D) + C$, $A(D) + R1$, $A(D) + R2$, $B + R1$, $C + R2$, $R1 + R2$ служат, в частности, семь пар гиперповерхностей сольвуса. И еще три триады линейчатых гиперповерхностей с образующим отрезком объединяются в границы фазовых областей без расплава: $A(D) + B + R1$, $A(D) + C + R2$, $A(D) + R1 + R2$.

В результате анализа схемы фазовых реакций и после построения прототипа можно сделать вывод, что фазовая диаграмма четверной системы состоит из 66 гиперповерхностей (пяти пар со-пряженных гиперповерхностей ликвидуса и солидуса), 14 – сольвуса, 21 линейчатой гиперповерхности с образующим отрезком для ограничения семи трехфазных областей с расплавом и еще девяти на границах трех трехфазных областей без расплава, а также 12 линейчатых гиперповерхностей с образующей плоскостью (горизонтальным треугольным симплексом) и 30 фазовых областей (пяти однофазных $I = A(D)$, B , C , $R1$, $R2$ и пяти двухфазных с расплавом $L + I$, семи трехфазных с расплавом $L + A(D) + B$, $L + A(D) + C$, $L + A(D) + R1$, $L + A(D) + R2$, $L + B + R1$, $L + C + R2$, $L + R1 + R2$ и семи двухфазных с теми же фазами, но без расплава; трех четырехфазных $L + A(D) + B + R1$, $L + A(D) + C + R2$, $L + A(D) + R1 + R2$ с расплавом и аналогичных трех трехфазных без расплава $A(D) + B + R1$, $A(D) + C + R2$, $A(D) + R1 + R2$.

Компьютерная 4D-модель изобарной фазовой диаграммы $\text{UCl}_3\text{-NaCl}\text{-MgCl}_2\text{-PuCl}_3$

После ввода в прототип реальных координат (составов и температур) базовых точек из пяти гиперповерхностей солидуса четыре вырождаются в температурные вертикали четырехмерного про-

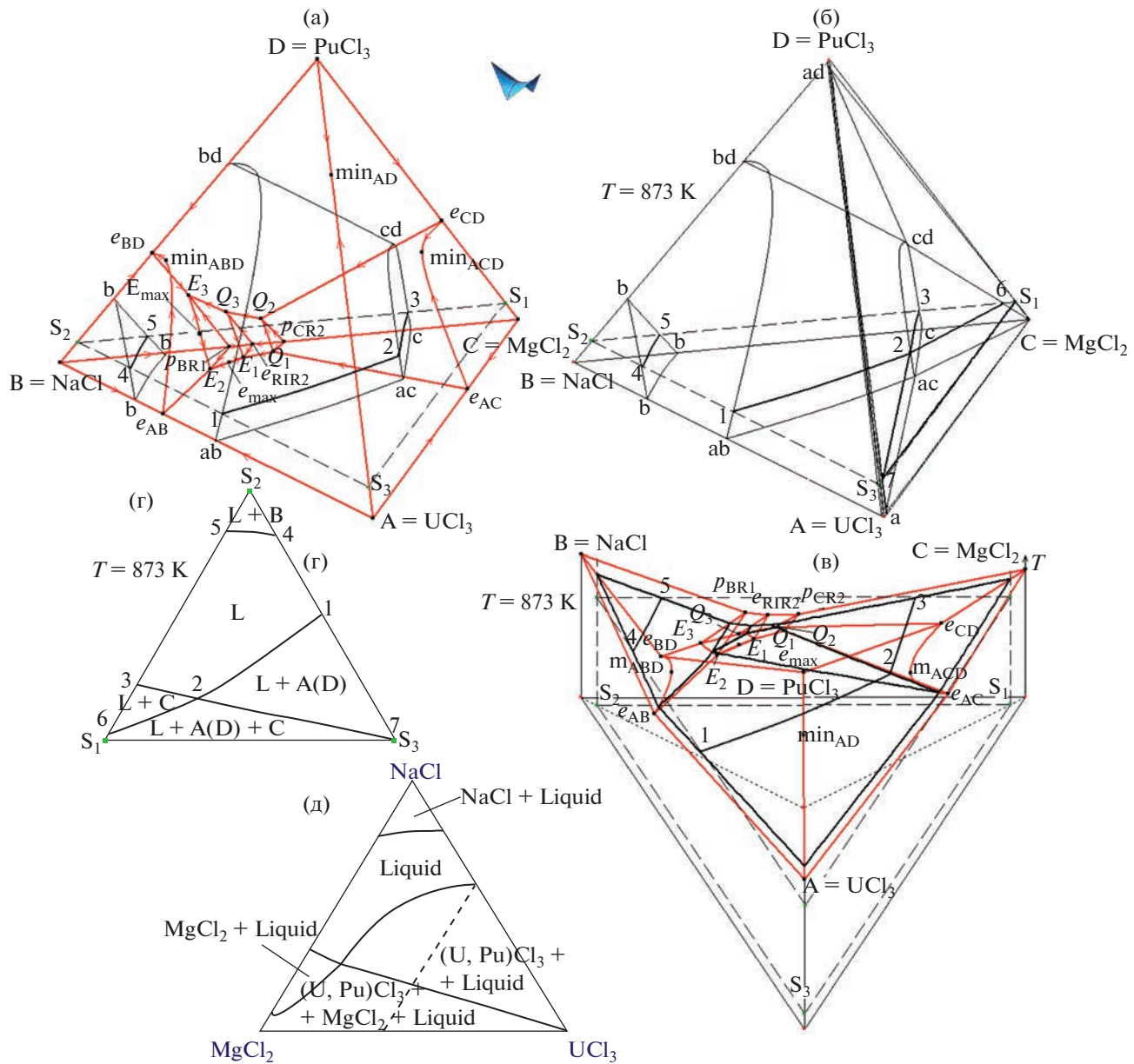


Рис. 7. Изотермический при $T = 873 \text{ K}$ (б) и политеrmический $\text{S}_1(0, 0, 0.93, 0.07)\text{-}\text{S}_2(0, 0.93, 0, 0.07)\text{-}\text{S}_3(0.93, 0, 0, 0.07)$ (в) 3D-разрезы фазовой диаграммы системы $\text{UCl}_3\text{-NaCl}\text{-MgCl}_2\text{-PuCl}_3$ (А-Б-С-Д) (а); сечение плоскостью $z_{4(\text{PuCl}_3)} = 0.07$ 3D разреза при 873 K совпадает с сечением плоскостью при $T = 873 \text{ K}$ 3D-разреза $z_{4(\text{PuCl}_3)} = 0.07$ (г) и соответствует термодинамически рассчитанному разрезу [7] (д).

странства в точках B , C , $\text{R}1$, $\text{R}2$. Невырожденной остается гиперповерхность солидуса, соответствующая окончанию первичной кристаллизации твердого раствора UCl_3 (PuCl_3) (А (Д)). Из 14 гиперповерхностей сольвуса невырожденными являются четыре гиперповерхности, которые отделяют двухфазные области $\text{A(D)} + \text{B}$, $\text{A(D)} + \text{C}$, $\text{A(D)} + \text{R}1$, $\text{A(D)} + \text{R}2$ от области гомогенности твердого раствора А (Д). Вырождаются три линейчатые гиперповерхности с образующим отрезком, которые разделяют между собой области $\text{L} + \text{B} + \text{R}1$ и $\text{B} + \text{R}1$,

$\text{L} + \text{C} + \text{R}2$ и $\text{C} + \text{R}2$, $\text{L} + \text{R}1 + \text{R}2$ и $\text{R}1 + \text{R}2$. Еще три аналогичные линейчатые гиперповерхности (тоже с образующим отрезком) находятся на границах областей $\text{A(D)} + \text{B} + \text{R}1$ и $\text{B} + \text{R}1$, $\text{A(D)} + \text{C} + \text{R}2$ и $\text{C} + \text{R}2$, $\text{A(D)} + \text{R}1 + \text{R}2$ и $\text{R}1 + \text{R}2$. Таким образом, проекции фазовых областей $\text{R}1 + \text{R}2$, $\text{C} + \text{R}2$, $\text{B} + \text{R}1$ сливаются с соответствующим ребром концентрационного тетраэдра, областей B и C – с его вершинами, областей $\text{R}1$ и $\text{R}2$ – с точками на ребре BC .

РЕЗУЛЬТАТЫ И ОБСУЖДЕНИЕ

Компьютерная 4D-модель фазовой диаграммы позволяет воспроизводить 2D-разрезы и строить любые произвольно заданные 3D-разрезы и их 2D-сечения (рис. 7), в том числе для того, чтобы верифицировать и далее оценить адекватность модели и понять особенности геометрического строения T - x - y - z -диаграммы.

Для оценки адекватности полученной 4D-модели проводится сравнение ее разрезов с аналогичными разрезами, полученными из экспериментов либо рассчитанными термодинамически. Например, в [7] показан изотермический 2D-разрез при $T = 873$ К на сечении концентрационного тетраэдра плоскостью при постоянном содержании PuCl_3 , равном 0.07 мол. д. (рис. 7д). Для воспроизведения этого разреза программой PD Designer можно действовать по одному из двух сценариев.

Во-первых, можно построить тетраэдр, соответствующий изотермическому разрезу при 873 К (рис. 7б), а затем рассечь этот тетраэдр плоскостью $S_1S_2S_3$ при фиксированном (0.07 мол. д.) содержании PuCl_3 . На изотермическом 3D-разрезе (рис. 7б) поверхности $ab-bd-cd-ac$, $b-b-b$ и $ac-cd-c$ отвечают сечениям гиперповерхностей ликвидуса UCl_3 (PuCl_3) (A (D)), NaCl (B) и MgCl_2 (C) соответственно. Кроме них на разрезе можно увидеть поверхности $a-ac-cd-ad$, $ac-cd-C$ и $a-ad-C$ – сечения линейчатых гиперповерхностей, которые служат границами трехфазной области $L + A$ (D) + C. После того как изотермический 3D-разрез рассекается плоскостью $S_1S_2S_3$, на перечисленных поверхностях остаются линии: 1–2 (след от сечения $ab-bd-cd-ac$), 2–3 ($ac-cd-c$), 4–5 ($b-b-b$), 2–7 ($a-ac-cd-ad$) и 2–6 ($ac-cd-C$). Эти же линии присутствуют на 2D-сечении (рис. 7г).

Второй вариант – пересечь плоскостью при 0.07 мол. д. PuCl_3 исходный концентрационный тетраэдр, а затем ортогонально полученному треугольнику $S_1S_2S_3$ восстановить температурную ось и в полученных координатах построить следы от сечения всех гиперповерхностей фазовой диаграммы (рис. 7в). Далее полученная трехмерная фигура сечется изотермической плоскостью при 873 К. В этом случае получается то же 2D-сечение четырехмерного объекта – T - x - y - z -диаграммы системы UCl_3 - NaCl - MgCl_2 - PuCl_3 (рис. 7г).

ЗАКЛЮЧЕНИЕ

Построены трехмерные (3D) компьютерные модели изобарных фазовых диаграмм UCl_3 - NaCl - MgCl_2 , UCl_3 - NaCl - PuCl_3 , UCl_3 - MgCl_2 - PuCl_3 , NaCl - MgCl_2 - PuCl_3 .

Сконструирована четырехмерная (4D) компьютерная модель фазовой диаграммы UCl_3 - NaCl - MgCl_2 - PuCl_3 .

Показано, что в общем виде фазовая диаграмма четверной системы (ее прототипа) состоит из 66 гиперповерхностей, в том числе из пяти гиперповерхностей ликвидуса и пяти – солидуса, 14 гиперповерхностей сольвуса, а также 30 линейчатых гиперповерхностей с образующим отрезком и 12 линейчатых гиперповерхностей с образующей плоскостью. Эти гиперповерхности служат границами 30 фазовых областей, включая пять однофазных, 12 двух-, 10 трех- и три четырехфазные области.

Изобарная фазовая диаграмма реальной четверной системы UCl_3 - NaCl - MgCl_2 - PuCl_3 включает те же пять гиперповерхностей ликвидуса, одну – солидуса, четыре гиперповерхности сольвуса. Из 30 линейчатых гиперповерхностей с образующим отрезком остаются невырожденными 24. Таким образом, 46 гиперповерхностей и 17 фазовых областей формируют геометрическое строение фазовой диаграммы.

Как компьютерные 3D-, так и 4D-модели способны воспроизводить известные (опубликованные) 2D-сечения и представлять любые 2D- и 3D-разрезы (изотермические и полигорячие) для визуализации геометрического строения всех рассмотренных фазовых диаграмм. Поэтому для проверки корректности спрогнозированной по схеме фазовых реакций 4D-модели фазовой диаграммы UCl_3 - NaCl - MgCl_2 - PuCl_3 удалось воспользоваться сравнением модельного и опубликованного [7] разрезов при $T = 873$ К и постоянном содержании хлорида плутония (0.07 мол. д.).

ФИНАНСИРОВАНИЕ РАБОТЫ

Исследование выполнено в соответствии с госзаданием ФГБУН ИФМ СО РАН на 2021–2023 гг. (проект № 0270-2021-0002).

КОНФЛИКТ ИНТЕРЕСОВ

Авторы сообщают об отсутствии конфликта интересов.

ДОПОЛНИТЕЛЬНАЯ ИНФОРМАЦИЯ

Онлайн-версия содержит дополнительные материалы, доступные по адресу: <https://doi.org/10.31857/S0044457X23600780>.

СПИСОК ЛИТЕРАТУРЫ

1. Yin H., Wu S., Wang X. et al // J. Fluor. Chem. 2019. V. 217. P. 90. <https://doi.org/10.1016/j.jfluchem.2018.09.008>

2. *Федоров П.П.* // Журн. неорган. химии. 2021. Т. 66. № 2. С. 250.
<https://doi.org/10.31857/S0044457X21020070>
3. *Mourogov A., Bokov P.M.* // Energy Convers. Manage. 2006. V. 47. P. 2761.
<https://doi.org/10.1016/j.enconman.2006.02.013>
4. *Pelton A.D., Chartrand P.* // Metall. Mater. Trans. A. 2001. V. 32A. P. 1361.
<https://doi.org/10.1007/s11661-001-0227-2>
5. *Trnovcova V., Garashina L.S., Skubla A. et al* // Solid State Ionics. 2003. V. 157. P. 195.
[https://doi.org/10.1016/S0167-2738\(02\)00209-6](https://doi.org/10.1016/S0167-2738(02)00209-6)
6. *Федоров П.П., Бучинская И.И., Бондареева О.С. и др.* // Журн. неорган. химии. 2000. Т. 45. № 6. С. 1054.
7. *Beneš O., Konings R.J.M.* // J. Nucl. Mater. 2008. V. 375. P. 202.
<https://doi.org/10.1016/j.jnucmat.2008.01.007>
8. *Beneš O.* Thermodynamics of Molten Salts for Nuclear Applications. PhD, Diss. Prague, Chech Rep. 2008. 205 p.
9. *Bulavin L., Plevachuk Yu., Sklyarchuk V. et al.* // J. Nucl. Mater. 2013. V. 433. P. 329.
<https://doi.org/10.1016/j.jnucmat.2012.08.045>
10. *Yin H., Wu X., Ling C. et al.* // CALPHAD. 2022. V. 77. 102427.
<https://doi.org/10.1016/j.calphad.2022.102427>
11. *Yin H., Lin J., Hu B. et al.* // CALPHAD. 2020. V. 70. 101783.
<https://doi.org/10.1016/j.calphad.2020.101783>
12. *Yingling J.A., Schorne-Pinto J., Aziziha M. et al.* // J. Chem. Thermodyn. 2023. V. 179. 106974.
<https://doi.org/10.1016/j.jct.2022.106974>
13. *Beneš O., van der Meer J.P.M., Konings R.J.M.* // CALPHAD. 2007. V. 31. P. 209.
<https://doi.org/10.1016/j.calphad.2006.12.004>
14. *Beneš O., Konings R.J.M.* // J. Nucl. Mater. 2008. V. 377. P. 449.
<https://doi.org/10.1016/j.jnucmat.2008.04.004>
15. *Beneš O., Konings R.J.M.* // CALPHAD. 2008. V. 32. P. 121.
<https://doi.org/10.1016/j.calphad.2007.07.006>
16. *van der Meer J.P.M., Konings R.J.M., Oonk H.A.J.* // J. Nucl. Mater. 2006. V. 357. P. 48.
<https://doi.org/10.1016/j.jnucmat.2006.05.042>
17. *Савчук Р.Н., Файдюк Н.В., Омельчук А.А. и др.* // Журн. неорган. химии. 2014. Т. 59. № 6. С. 780.
<https://doi.org/10.7868/S0044457X1406018X>
18. *Пономарев Л.И., Серегин М.Б., Михаличенко А.А. и др.* // Атомная энергия. 2012. Т. 112. № 6. С. 341.
19. *Masset P., Konings R.J.M., Malmbeck R. et al.* // J. Nucl. Mater. 2005. V. 344. P. 173.
<https://doi.org/10.1016/j.jnucmat.2005.04.038>
20. *Murakami T., Rodrigues A., Ougier M. et al.* // J. Nucl. Mater. 2015. V. 466. P. 502.
<https://doi.org/10.1016/j.jnucmat.2015.08.045>
21. *Ghosh S., Ganesan R., Sridharan R. et al.* // Thermo-chim. Acta. 2017. V. 653. P. 16.
<https://doi.org/10.1016/j.tca.2017.03.024>
22. *Воробьева В.П., Зеленая А.Э., Луцик В.И. и др.* // Журн. неорган. химии. 2023. Т. 68. № 8. С. 1090.
<https://doi.org/10.31857/S0044457X23600524>
23. *Fredrickson G.L., Yoo T.-S.* // J. Nucl. Mater. 2020. V. 528. P. 151883.
<https://doi.org/10.1016/j.jnucmat.2019.151883>
24. *Vorob'eva V.P., Zelenaya A.E., Lutsyk V.I. et al.* // J. Phase Equilib. Diffus. 2021. V. 42. P. 175.
<https://doi.org/10.1007/s11669-021-00863-3>
25. *Prince A.* Alloy Phase Equilibria. Amsterdam–London–New York: Elsevier Publ. Comp., 1966. 290 p.
26. *Connell R.G.* // J. Phase Equilib. Diffus. 1994. V. 15. № 1. P. 6.
<https://doi.org/10.1007/s11669-021-00863-3>
27. *Lutsyk V.I., Vorob'eva V.P.* // J. Therm. Anal. Calorim. 2010. V. 101. № 1. P. 25.
<https://doi.org/10.1007/s10973-010-0855-0>
28. *Lukas H.L., Henig E.T., Petzow G.* // Z. Metallkd. 1986. V. 77. P. 360.